

spinless T-L model = localized impurity in 1D system

$$\mathcal{L}_0 = -i \partial_x \theta \partial_c \phi + \frac{v}{2} \left[K (\partial_x \theta)^2 + \frac{1}{K} (\partial_x \phi)^2 \right]$$

$R \rightarrow R!$ $L \rightarrow L$ forward scattering $x=0$ impurity
 $R \rightarrow L!$ $L \rightarrow R$ backward scattering

$$\mathcal{L}_{imp} = \lim_{\epsilon \rightarrow 0} \delta(x) \left\{ \tilde{V}_f \left[\psi_R^\dagger(x+\epsilon) \psi_R(x-\epsilon) + \psi_L^\dagger(x+\epsilon) \psi_L(x-\epsilon) \right] + \tilde{V}_b \left[\psi_R^\dagger(x+\epsilon) \psi_L(x-\epsilon) + \psi_L^\dagger(x+\epsilon) \psi_R(x-\epsilon) \right] \right\}$$

$$= \lim_{\epsilon \rightarrow 0} \delta(x) \left\{ -\frac{\tilde{V}_f}{\sqrt{\pi}} \partial_x \phi + \frac{\tilde{V}_b}{2\pi\alpha} \left[e^{i\sqrt{\pi}(\phi(x+\epsilon) + \phi(x-\epsilon))} + h.c. \right] \right\}$$

forward scattering

$$\tilde{\phi}(x) = \phi(x) - \frac{K}{2v} \frac{\tilde{V}_f}{\sqrt{\pi}} \text{sign}(x)$$

$$\mathcal{L}_0 + \mathcal{L}_{imp} = -i \partial_x \theta \partial_c \tilde{\phi} + \frac{v}{2} \left[K (\partial_x \theta)^2 + \frac{1}{K} (\partial_x \tilde{\phi})^2 \right] + V_b \delta(x) \cos [2\sqrt{\pi} \tilde{\phi}(x)] + \text{c-number function}$$

$$V_b = \frac{\tilde{V}_b}{\pi\alpha} \quad F_R^\dagger F_L = 1$$

impurity

$$\mathcal{L}_0 + \mathcal{L}_{imp} = \frac{v}{8\pi K} \left[\left(\frac{\partial_x \phi}{v} \right)^2 + (\partial_x \phi)^2 \right] + V_b \delta(x) \cos \phi$$

$$\phi = 2\sqrt{\pi} \tilde{\phi}$$

for $\phi(x=0)$... $\phi(x \neq 0)$...

$$\begin{aligned}
 Z &= \int D\phi(x, \tau) e^{-\int_0^\beta d\tau L} \\
 &= \int D\phi(x, \tau) D\varphi(\tau) \delta[\varphi(\tau) - \phi(0, \tau)] e^{-\int_0^\beta d\tau L} \\
 &= \int D\phi(x, \tau) D\varphi(\tau) D\lambda(\tau) e^{-\int_0^\beta d\tau [L + i\lambda(\tau)(\varphi(\tau) - \phi(0, \tau))]} \\
 &\equiv \int D\varphi(\tau) e^{-S_{\text{eff}}[\varphi(\tau)]}
 \end{aligned}$$

L_{imp} για $\phi(0, \tau)$ να είναι ίσος με $\delta[\varphi(\tau) - \phi(0, \tau)]$ είναι να είναι με
 για $\phi(0, \tau)$ να είναι ίσος με $\varphi(\tau)$ να είναι

$$\int_0^\beta d\tau [L_0 - i\lambda(\tau)\phi(0, \tau)]$$

$$= \sum_{\omega_n} \sum_q \left\{ \frac{\omega_n^2 + \sigma^2 q^2}{8\pi K\sigma} \phi(q, i\omega_n) \phi(-q, -i\omega_n) - \frac{i}{2\sqrt{Z}} [\lambda(i\omega_n)\phi(-q, -i\omega_n) + \phi(q, i\omega_n)\lambda(-i\omega_n)] \right\}$$

$$\phi(x, \tau) = \frac{1}{\sqrt{Z\beta}} \sum_{q, \omega_n} e^{i(qx - \omega_n \tau)} \phi(q, i\omega_n)$$

$$= \frac{1}{Z} \sum_{\omega_n} \sum_q \frac{2\pi K\sigma}{\omega_n^2 + \sigma^2 q^2} \lambda(i\omega_n) \lambda(-i\omega_n) \quad : \text{integrating out } \phi$$

$$\frac{1}{Z} \sum_q \frac{2\pi K\sigma}{\omega_n^2 + \sigma^2 q^2} \longrightarrow \int dq \frac{K\sigma}{\omega_n^2 + \sigma^2 q^2} = \frac{\pi K}{|\omega_n|} \quad L \rightarrow \infty \text{ limit}$$

$$\left(-\frac{2\pi K\sigma}{Z} \frac{1}{\omega_n^2} \tanh\left(\frac{\omega_n L}{\pi\sigma}\right) \right)$$

για λ να είναι ίσος με φ

$$\sum_{\omega_n} \left\{ \frac{\pi K}{|\omega_n|} \lambda(i\omega_n) \lambda(-i\omega_n) + \frac{i}{2} [\lambda(i\omega_n) \varphi(-i\omega_n) + \varphi(i\omega_n) \lambda(-i\omega_n)] \right\}$$

מבטאים את S_{eff} כפונקציה של φ_1 ו- φ_2

$$S_{eff} = \sum_{\omega_n} \frac{|\omega_n|}{4\pi K} \varphi_1(i\omega_n) \varphi_1(-i\omega_n) + V_b \int_0^\beta dz \cos \varphi(z)$$

כאשר $V_b \cos \varphi$ מייצג את הפוטנציאל של השרשרת. $\gamma = \frac{1}{4\pi K}$ קבוע קבוע

cutoff Λ מוגדר על ידי $\Lambda \sim \frac{v}{a}$. $R_G \gg \Lambda^{-1}$ מייצג את המרחק הגרעין. $V_b \ll \Lambda$ מייצג את המרחק הגרעין.

$$\varphi_<(i\omega_n) = \varphi_1(i\omega_n) \quad |\omega_n| < \Lambda - d_1$$

$$\varphi_>(i\omega_n) = \varphi_1(i\omega_n) \quad \Lambda - d_1 < |\omega_n| < \Lambda$$

$$Z = \int D\varphi_1 D\varphi_2 e^{-S_{eff}(\varphi_1, \varphi_2)}$$

$$= Z_1 \int D\varphi_1 e^{-\sum_{|\omega_n| < \Lambda - d_1} \frac{|\omega_n|}{4\pi K} \varphi_1(i\omega_n) \varphi_1(-i\omega_n)}$$

$$\times \frac{1}{Z_2} \int D\varphi_2 e^{-\sum_{\Lambda - d_1 < |\omega_n| < \Lambda} \frac{|\omega_n|}{4\pi K} \varphi_2(i\omega_n) \varphi_2(-i\omega_n)} \left[1 - V_b \int_0^\beta dz \cos(\varphi_1 + \varphi_2) \right]$$

$$= Z_1 \int D\varphi_1 e^{-\sum_{|\omega_n| < \Lambda - d_1} \frac{|\omega_n|}{4\pi K} \varphi_1(i\omega_n) \varphi_1(-i\omega_n)} \left[1 - \frac{V_b}{2} \int_0^\beta dz \left(e^{i\varphi_1(z)} \langle e^{i\varphi_2(z)} \rangle + e^{-i\varphi_1(z)} \langle e^{-i\varphi_2(z)} \rangle \right) \right]$$

$$= Z_1 \int D\varphi_1 e^{-\sum_{|\omega_n| < \Lambda - d_1} \frac{|\omega_n|}{4\pi K} \varphi_1(i\omega_n) \varphi_1(-i\omega_n)} \left[1 - V_b \int_0^\beta dz \cos \varphi_1(z) \cdot e^{-\frac{1}{2} \langle \varphi_2^2(z) \rangle} \right]$$

$\gamma = \frac{V_b}{\Lambda}$ מייצג את המרחק הגרעין. $\langle \varphi_2^2(z) \rangle = 2K \frac{d_1}{\Lambda}$ e μ_N

$$V_b(\Lambda - d_1) = V_b(\Lambda) e^{-K \frac{d_1}{\Lambda}} \approx V_b(\Lambda) \left(1 - K \frac{d_1}{\Lambda} \right)$$

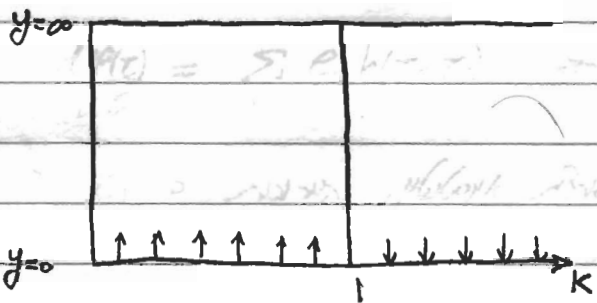
$$y(\Lambda - d_1) = y(\Lambda) \left[1 + (1-K) \frac{d_1}{\Lambda} \right] \quad d_1 = |d_1| \text{ וברור } \leftarrow$$

$$y(\ell + d_1) = y(\ell) \left[1 + (1-K) d_1 \right] \quad \text{לפי } \frac{d_1}{\Lambda} = d_1 \leftarrow \Lambda = \Lambda_0 e^{-\ell} \text{ וברור}$$

$$\frac{dy}{dt} = (1-K)y$$

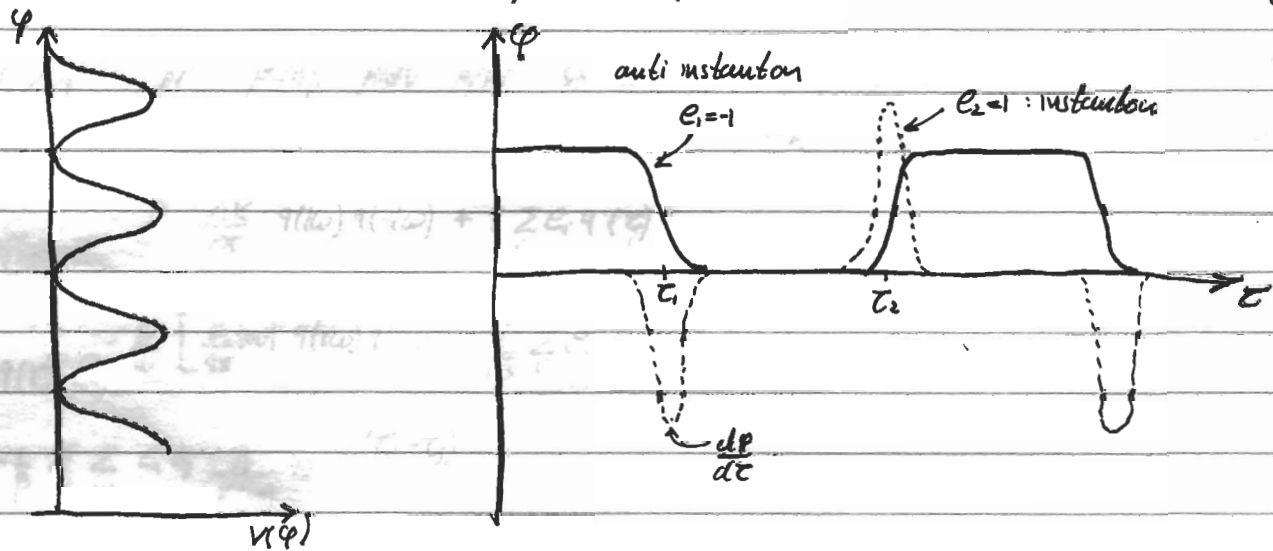


קצת שווה לשינוי \rightarrow הקצב של פירוק ולק (לפי cutoff \rightarrow דרך $e \in \infty$)
 $K > 1$ זה 'גודל' אבל \rightarrow וזה אפקטיבי: $K < 1$ זה אומר משהו נ"ר וזה
 אכן אפקטיבי



אולי זהו זה המושג? $V_0 = y \gg 1$ קצת שווה דרך e זה $e \gg 1$ וזה פשוט
 (duality) מוכר גם בשם של אנרגיה

Tunneling. $\cos \varphi$ שינוי \rightarrow המעבר בין מצבי הקצב φ $V_0 \gg \Delta$ דרך
 הוויכוח של S_{inst} זהו $Z \propto e^{-S_{inst}}$ זהו הקצב של המעבר בין מצבי הקצב
 הפשוט זהו המושג של המעבר בין מצבי הקצב φ (instanton) מוכר גם בשם של אנרגיה
 זה S_{eff} זהו המושג של המעבר בין מצבי הקצב φ זהו המושג של המעבר בין מצבי הקצב
 זהו המושג של המעבר בין מצבי הקצב φ זהו המושג של המעבר בין מצבי הקצב
 זהו המושג של המעבר בין מצבי הקצב φ זהו המושג של המעבר בין מצבי הקצב
 זהו המושג של המעבר בין מצבי הקצב φ זהו המושג של המעבר בין מצבי הקצב



resistor tunneling in a system with dissipation

$$Z = \sum_{n=0}^{\infty} z^n \sum_{\{e_i\}} \int_0^{\beta} dt_n \int_0^{\tau_n} dt_{n-1} \dots \int_0^{\tau_2} dt_1 e^{-S_{\text{dissipation}}}$$

for a resistor with $e_i = \pm 1$ in a system with dissipation S_{diss} the partition function is $Z = \sum_{\{e_i\}} \int \dots e^{-S_{\text{diss}}}$

$$\frac{d\varphi(\tau)}{d\tau} = \sum_i e_i h(\tau - \tau_i) \Rightarrow -i\omega \varphi(i\omega) = \sum_i e_i h(i\omega) e^{i\omega \tau_i}$$

τ_i is a random variable, probability distribution $h(\tau - \tau_i)$

$$h(i\omega) = \frac{1}{\sqrt{\beta}} \int d\tau e^{i\omega \tau} h(\tau)$$

$$h(i\omega) \rightarrow \frac{1}{\sqrt{\beta}} \int d\tau h(\tau) = \frac{2\pi}{\sqrt{\beta}} \quad \omega \rightarrow 0 \text{ limit}$$

$$S_{\text{diss}} = \sum_{i\omega} \frac{|e_i|^2}{4\pi K} \frac{1}{\omega^2} \sum_j e_i e_j h(i\omega) h(-i\omega) e^{i\omega(\tau_i - \tau_j)}$$

small $\omega \rightarrow \sum_{i\omega} F(\tau_i - \tau_j) e_i e_j$

$$F(\tau_i - \tau_j) = \frac{1}{\beta} \sum_{i\omega} \frac{\pi}{K} \frac{1}{|\omega|} e^{i\omega(\tau_i - \tau_j)} \xrightarrow{\tau_i \gg \tau_j} \sim \ln |\tau_i - \tau_j|$$

$$Z = \sum_{n=0}^{\infty} z^n \sum_{\{e_i\}} \int_0^{\beta} dt_n \int_0^{\tau_n} dt_{n-1} \dots \int_0^{\tau_2} dt_1 e^{-\sum_{i,j} e_i e_j F(\tau_i - \tau_j)}$$

grand-partition function Z is fugacity of the charges.

$$\int D\varphi(\tau) e^{-\sum_{i\omega} \frac{|e_i|^2}{4\pi K} \varphi(i\omega) \varphi(-i\omega) + i \sum_i z e_i \varphi(\tau_i)}$$

$$= \int D\varphi(\tau) e^{-\sum_{i\omega} \left[\frac{K}{4\pi} \varphi(i\omega) \varphi(-i\omega) + \frac{i}{\sqrt{\beta}} z e_i e^{-i\omega \tau_i} \varphi(i\omega) \right]}$$

$$= e^{-\frac{1}{\beta} \sum_{i,j} z e_i e_j \frac{\pi}{K|\omega|} e^{i\omega(\tau_i - \tau_j)}}$$

$$Z = \int D\varphi \sum_{n=0}^{\infty} \frac{z^n}{n!} \sum_{\{e_i\}} \int_0^{\beta} dt_1 \dots \int_0^{\beta} dt_n e^{-\sum_{\omega} \frac{K}{4\pi} |\omega| \varphi(i\omega) \varphi(-i\omega) + i \sum_i e_i \varphi(\tau_i)}$$

$$= \int D\varphi e^{-\sum_{\omega} \frac{K}{4\pi} |\omega| \varphi(i\omega) \varphi(-i\omega)} \sum_{n=0}^{\infty} \frac{z^n}{n!} \left(2 \int_0^{\beta} dt \cos \varphi(t) \right)^n$$

$$= \int D\varphi e^{-\sum_{\omega} \frac{K}{4\pi} |\omega| \varphi(i\omega) \varphi(-i\omega) + 2z \int_0^{\beta} dt \cos \varphi(t)}$$

מאפשר לנו להשתמש בשיטה של שדה סטטי כדי להפוך את המערכת למערכת דואלית

$$\varphi(\tau) \rightarrow \varphi(\tau)$$

weak coupling \leftrightarrow strong coupling

$$K \rightarrow \frac{1}{K}$$

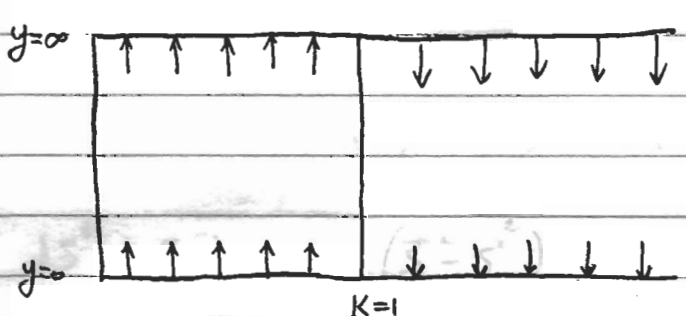
large (small) dissipation \leftrightarrow small (large) dissipation

$$V_b \rightarrow 2z$$

potential strength \leftrightarrow tunneling probability

הפרקטור z הוא הפרקטור של המודל של רשת קריסטלית. עבור $K > 1$ המודל מתאפיין בתנודות קטנות, בעוד שבמקרה $K < 1$ התנודות גדולות יותר. הפרקטור V_b הוא הפרקטור של המודל של רשת קריסטלית.

הפרקטור z הוא הפרקטור של המודל של רשת קריסטלית. עבור $K > 1$ המודל מתאפיין בתנודות קטנות, בעוד שבמקרה $K < 1$ התנודות גדולות יותר.



XXZ model $S = \frac{1}{2}$ \rightarrow plan

$$H = \sum_i J_{xy} (S_{i+1}^x S_i^x + S_{i+1}^y S_i^y) + J_z S_{i+1}^z S_i^z$$

זהו \vec{S}_i וזהו המודל המפורסם ביותר $\frac{1}{2}$ ספין זהו המודל המפורסם ביותר

$$[S_i^\alpha, S_j^\beta] = i \delta_{ij} \epsilon_{\alpha\beta\gamma} S_i^\gamma$$

זהו המודל המפורסם ביותר

$$S_i^x \rightarrow (-1)^i S_i^x$$

1. זהו המודל המפורסם ביותר

$$S_i^y \rightarrow (-1)^i S_i^y$$

$$S_i^z \rightarrow S_i^z$$

זהו המודל המפורסם ביותר

$$S^\pm = S^x \pm i S^y$$

2. זהו המודל המפורסם ביותר

$\uparrow \downarrow$ זהו המודל המפורסם ביותר

$$H = \frac{J_{xy}}{2} \sum_i (S_{i+1}^+ S_i^- + h.c.) + J_z \sum_i S_{i+1}^z S_i^z$$

זהו המודל המפורסם ביותר

3. זהו המודל המפורסם ביותר $\frac{1}{2}$ ספין זהו המודל המפורסם ביותר

$$\{S^+, S^-\} = 2(S^z - S^z) = 2 \cdot \left(\frac{1}{2} \cdot \frac{3}{2} - \frac{1}{4}\right) = 1$$

$$\{S^+, S^z\} = 2(S^z - \frac{1}{2}) S^+ = 0$$

$$\{S^-, S^z\} = 2(S^z + \frac{1}{2}) S^- = 0$$

זהו המודל המפורסם ביותר

הצורה הזו היא הצורה הנורמלית של האופרטורים של שרשרת קוואנטים

$$S_i^+ = c_i^+, \quad S_i^- = c_i, \quad S_i^z = c_i^+ c_i - \frac{1}{2}$$

הצורה הזו היא הצורה הנורמלית של האופרטורים של שרשרת קוואנטים
 Jordan and Wigner \rightarrow הצורה הזו היא הצורה הנורמלית של האופרטורים של שרשרת קוואנטים

$$S_i^+ = c_i^+ K_i = K_i c_i^+$$

$$S_i^- = K_i c_i = c_i K_i$$

$$S_i^z = c_i^+ c_i - \frac{1}{2}$$

\rightarrow הצורה הזו היא הצורה הנורמלית של האופרטורים של שרשרת קוואנטים

$$K_i = K_i^+ = e^{i\pi \sum_{j=-\infty}^{i-1} c_j^+ c_j} = e^{i\pi \sum_{j=-\infty}^{i-1} (S_j^z + \frac{1}{2})}$$

$$K_i^2 = 1, \quad [K_i, K_j] = 0$$

הצורה הזו היא הצורה הנורמלית של האופרטורים של שרשרת קוואנטים
 הן שרשרת קוואנטים הם שרשרת קוואנטים \rightarrow הצורה הזו היא הצורה הנורמלית של האופרטורים של שרשרת קוואנטים

$$[S_i^+, S_j^z] = [S_i^-, S_j^z] = 0$$

$$[S_i^+, S_j^-] = c_i^+ K_i K_j c_j - K_j c_j c_i^+ K_i \quad : \text{כאשר } i < j$$

$$= c_i^+ K_i K_i c_j$$

$$= c_i^+ K_j c_j K_i$$

$$= K_j c_i^+ c_j K_i$$

$$= K_j c_j c_i^+ K_i$$

\because כאשר $i < j$ c_j^+ יוצא לפני c_i^+

הצורה הזו היא הצורה הנורמלית של האופרטורים של שרשרת קוואנטים

הקשר בין S^x ו- S^y הוא

אם $S^x \rightarrow S^x$, $S^y \rightarrow -S^y$ אין שום שינוי במצב האנרגטי
 אולם $S^z \rightarrow -S^z$ כלומר הפך את המצב האנרגטי
 ל- π ו- 2π ו- 4π ו- 6π ו- 8π ו- 10π ו- 12π ו- 14π ו- 16π ו- 18π ו- 20π ו- 22π ו- 24π ו- 26π ו- 28π ו- 30π ו- 32π ו- 34π ו- 36π ו- 38π ו- 40π ו- 42π ו- 44π ו- 46π ו- 48π ו- 50π ו- 52π ו- 54π ו- 56π ו- 58π ו- 60π ו- 62π ו- 64π ו- 66π ו- 68π ו- 70π ו- 72π ו- 74π ו- 76π ו- 78π ו- 80π ו- 82π ו- 84π ו- 86π ו- 88π ו- 90π ו- 92π ו- 94π ו- 96π ו- 98π ו- 100π

בזמן Jordan-Wigner מנסים להפוך את המצב

$$S_{i+1}^+ S_i^- = C_{i+1}^+ K_{i+1} K_i C_i = C_{i+1}^+ e^{i\pi C_{i+1}^+ C_{i+1}} C_i = C_{i+1}^+ C_i$$

$$H = \frac{J_{xy}}{2} \sum_i (C_{i+1}^+ C_i + h.c.) + J_z \sum_i (C_{i+1}^+ C_{i+1} - \frac{1}{2})(C_i^+ C_i - \frac{1}{2})$$

$$C_i \rightarrow (-1)^i C_i$$

אם $C_i \rightarrow (-1)^i C_i$ אז $C_{i+1}^+ C_{i+1} - \frac{1}{2} \rightarrow (-1)^{i+1} C_{i+1}^+ (-1)^{i+1} C_{i+1} - \frac{1}{2} = C_{i+1}^+ C_{i+1} - \frac{1}{2}$

$$H = -\frac{J_{xy}}{2} \sum_i (C_{i+1}^+ C_i + h.c.) + J_z \sum_i (C_{i+1}^+ C_{i+1} - \frac{1}{2})(C_i^+ C_i - \frac{1}{2})$$

אם $S^z = J_z \sum_i (C_i^+ C_i - \frac{1}{2})$ אז $\langle S^z \rangle = 0$

$$\langle S^z \rangle = \langle C_i^+ C_i - \frac{1}{2} \rangle = 0$$

(particle-hole) כלומר המצב האנרגטי הוא סימטרי

$$C_i \rightarrow (-1)^i \tilde{C}_i^+$$

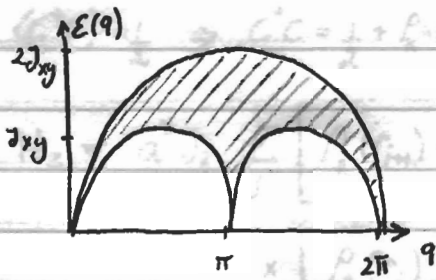
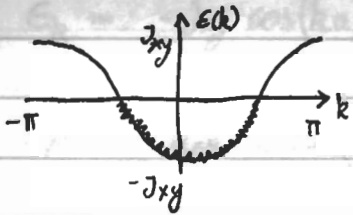
particle-hole symmetric
 כלומר \tilde{C}_i^+ הוא המצב האנרגטי

$$C_i^+ C_i - \frac{1}{2} \rightarrow -\tilde{C}_i^+ \tilde{C}_i + \frac{1}{2}$$

$$\langle C_i^+ C_i - \frac{1}{2} \rangle_H = -\langle \tilde{C}_i^+ \tilde{C}_i - \frac{1}{2} \rangle_H = 0$$

$$\langle C_i^+ C_i \rangle = \frac{1}{2} \quad \text{כלומר המצב האנרגטי הוא סימטרי}$$

נציג את המודל של XY chain (XY chain) $J_2 = 0$ ונראה כי הוא ניתן לתיאור על ידי Jordan-Wigner transformation.



הוסיף את המודל של XY chain (XY chain) $J_2 = 0$ ונראה כי הוא ניתן לתיאור על ידי Jordan-Wigner transformation.

נוסף קוויביות שמה שמה כלול מודל

$$\langle S_i^z S_j^z \rangle = \frac{-1}{2\pi^2} \frac{1 - (-1)^{i-j}}{(i-j)^2}$$

הפונקציה $\langle S^z(x, z) S^z(0, 0) \rangle = \langle P(x, z) P(0, 0) \rangle$ היא הפונקציה של string operators $S^+ S^-$ וניתן לראות כי היא מתנהגת כמו הפונקציה של Jordan-Wigner transformation.

הפונקציה $\langle S^z(x, z) S^z(0, 0) \rangle = \langle P(x, z) P(0, 0) \rangle$ היא הפונקציה של string operators $S^+ S^-$ וניתן לראות כי היא מתנהגת כמו הפונקציה של Jordan-Wigner transformation.

$$S^+(x) = \frac{S_i^+}{\sqrt{a}}$$

$$S^z(x) = \frac{S_i^z}{\sqrt{a}}$$

$$\psi(x) = \frac{c_i}{\sqrt{a}} = \frac{1}{\sqrt{Na}} \sum_k e^{ikx} c_k$$

נוסף את המודל של XY chain (XY chain) $J_2 = 0$ ונראה כי הוא ניתן לתיאור על ידי Jordan-Wigner transformation.

$$k \in \left[-\frac{\pi}{a}, \frac{\pi}{a}\right], \quad v_j = ja$$

$$H_{xy} = \sum_k \epsilon_k C_k^\dagger C_k$$

$$\epsilon_k = -j_{xy} \cos(ka)$$

$$V_F = j_{xy} a \sin(k_F a)$$

$$\langle C^\dagger C \rangle = \frac{1}{2} \Rightarrow C^\dagger C = \frac{1}{2} + P_R P_L + \dots \text{ e } \dots \text{ } k_F = \frac{\pi}{2a}$$

$$H_z = a^2 j_z \sum_j \left[P_R(r_{j+1}) + P_L(r_{j+1}) + \left(e^{-2ik_F r_{j+1}} \Psi_R^\dagger(r_{j+1}) \Psi_L(r_{j+1}) + h.c. \right) \right]$$

$$\times \left[P_R(r_j) + P_L(r_j) + \left(e^{-2ik_F r_j} \Psi_R^\dagger(r_j) \Psi_L(r_j) + h.c. \right) \right]$$

$$\rightarrow a j_z \int dx \left[-\frac{1}{\sqrt{\pi}} \partial_x \phi(x+a) + \left(e^{-2ik_F(x+a)} \frac{1}{2\pi\alpha} e^{2i\sqrt{\pi}\phi(x+a)} + h.c. \right) \right]$$

$$\times \left[-\frac{1}{\sqrt{\pi}} \partial_x \phi(x) + \left(e^{-2ik_F x} \frac{1}{2\pi\alpha} e^{2i\sqrt{\pi}\phi(x)} + h.c. \right) \right]$$

$$\alpha \approx a$$

$$\partial_x \phi(x+a) \partial_x \phi(x) \approx [\partial_x \phi(x)]^2$$

$$\frac{1}{(2\pi\alpha)^2} e^{-2ik_F a} e^{2i\sqrt{\pi}[\phi(x+a) - \phi(x)]} \approx \frac{e^{-2ik_F a}}{(2\pi\alpha)^2} \left[1 + 2i\sqrt{\pi} a \partial_x \phi(x) - 2\pi a^2 [\partial_x \phi(x)]^2 \right]$$

$$\Psi_R^\dagger(x+a) \Psi_L(x+a) \Psi_L^\dagger(x) \Psi_R(x) = -P_R(x) P_L(x) = -\frac{1}{\pi} \left[(\partial_x \phi)^2 - \frac{1}{\pi} (\partial_x \theta)^2 \right]$$

This block contains the derivation of the normal ordering of the fermion bilinear. It shows the expansion of the exponential term in the previous block and the resulting expression for the product of fermion operators in terms of the bosonic fields.

$$e^{\pm 2ik_F x} \int \dots$$

$4k_F a = 2\pi J$ e für $x=ja$ die bei $k_F = \frac{\pi}{2a}$: half-filling a period
 period $e^{2i k_F x}$) perioden perioden was auf pd

$\cos[2\sqrt{\pi}(\phi(x+a)+\phi(x))] \approx \cos[4\sqrt{\pi}\phi(x)]$
 as total perioden was ist für $e^{2i k_F a} = -1$

$H_z = aJ_z \int dx \frac{1}{\pi} [1 - \cos(2k_F a)] [\partial_x \phi(x)]^2 - \frac{2}{(2\pi a)^2} \cos[4\sqrt{\pi}\phi(x)]$
 $H_{xz} = H_{Tz} - \frac{2g_3}{(2\pi a)^2} \int dx \cos[4\sqrt{\pi}\phi(x)]$
 $v_K = v_F = J_{xy} a \sin(k_F a)$

$\frac{v}{K} = v_F \left[1 + \frac{2J_z a}{\pi v_F} [1 - \cos(2k_F a)] \right]$

$g_3 = aJ_z$

Winkel $\theta = \frac{\phi}{\sqrt{2}}$ backward scattering

$\theta = \sqrt{2} \tilde{\theta}$

$K = \frac{\tilde{K}}{2}$

Umklapp, die in gapless TL model ∂ $K > \frac{L}{2}$ $\tilde{K} > 1$ $J_z = 0$ XY sind gapless TL

Ising phase J_z $K < \frac{L}{2}$

β^3 model T-L d' is given by J_z : interaction along z-axis K ! U is the energy per spin
 Bethe-ansatz \rightarrow exact solution for 1D spin systems. As J_z varies, the system goes from
 Ising (stiffness) to XY (stiffness) to Heisenberg (stiffness) \rightarrow (spin stiffness)

$$\cos \pi\beta^2 = -\frac{J_z}{J_{xy}}$$

$$K = \frac{1}{2\beta^2}, \quad U = \frac{1}{1-\beta^2} \sin[\pi(1-\beta^2)] \cdot \frac{J_{xy}}{2}$$

\rightarrow limit for small J_z (Ising) \rightarrow limit for large J_z (Heisenberg) \rightarrow limit for $J_z \ll J_{xy}$

unklapp \rightarrow limit for $J_z = J_{xy}$: Heisenberg point $K=1$.
 XY \rightarrow limit for $J_z = 0$: Ising \rightarrow limit for $J_z \rightarrow \infty$: Heisenberg AF

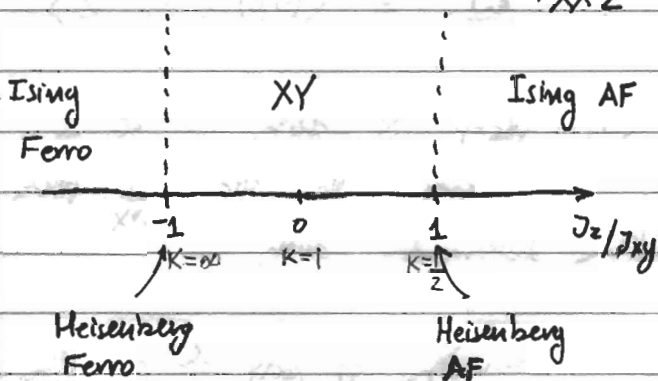
$K \rightarrow \infty, U \rightarrow 0$. $J_z \rightarrow -J_{xy} < 0$: limit for $J_z < 0$ per spin \rightarrow limit for $J_z < -J_{xy}$

limit for $J_z < -J_{xy}$: limit for $J_z < -J_{xy}$

T-L d' is given by J_z : interaction along z-axis K ! U is the energy per spin

$J_z < 0$: limit for $J_z < 0$ per spin \rightarrow limit for $J_z < -J_{xy}$

\rightarrow limit for $J_z < -J_{xy}$: limit for $J_z < -J_{xy}$



$$S_z = P - \frac{1}{2} = P_R + P_L + [e^{-2ikR} \psi_R^+ \psi_L + h.c.] \quad : S_z \text{ d' is given by } J_z$$

$$= -\frac{1}{\sqrt{\pi}} \partial_x \phi + \frac{1}{\pi a} \cos(2\sqrt{\pi}\phi - 2kR)$$

$$= -\frac{1}{\sqrt{\pi}} \partial_x \phi + \frac{(-1)^x}{\pi a} \cos(2\sqrt{\pi}\phi) \quad x=ja$$

string operator ה X ו Y פופס ולע לזר S^+

$$e^{i\pi \sum_{k_i} c_i^+ c_i} = e^{i\pi \sum_{k_i} \frac{1}{2} + a [L_0 + \bar{L}_0]} = e^{i\frac{\pi}{2a} X} e^{i\pi \int_{-\infty}^x dx' [\rho(x') + \bar{\rho}(x')]}$$

$$\langle S^+ \rangle = \langle e^{i\pi \sum_{k_i} c_i^+ c_i} \rangle = e^{ik_F X} e^{-i\sqrt{\pi} \int_{-\infty}^x dx' \alpha \cdot \phi} = e^{ik_F X - i\sqrt{\pi} \phi(x)}$$

$\phi(-\infty)$ נע לנסה

$$\Rightarrow S^+(x) = \left[e^{-ik_F x} \Psi_R^+(x) + e^{ik_F x} \Psi_L^+(x) \right] \cdot \frac{1}{2} \left[e^{ik_F x - i\sqrt{\pi} \phi(x)} + e^{-ik_F x + i\sqrt{\pi} \phi(x)} \right]$$

$$= \frac{e^{-i\sqrt{\pi} \phi(x)}}{\sqrt{2\pi a}} \left[1 + (-1)^{\frac{x}{a}} \cos[2\sqrt{\pi} \phi(x)] \right]$$

string operator ה זר $\frac{1}{2} \left[e^{i\pi \sum_{i,j} c_j^+ c_j} + h.c \right]$ נכונה נוסף נכונה

XY phase ה : \angle ה נוסף נוסף ה נוסף נוסף

$$\langle S^z(x,0) S^z(0,0) \rangle = \frac{C_1}{X^2} + C_2 \frac{(-1)^x}{X^{2K}}$$

$$\langle S^+(x,0) S^-(0,0) \rangle = \frac{C_3}{X^{2K + \frac{1}{2K}}} + C_4 \frac{(-1)^x}{X^{1/2K}}$$

Z זר פון נוסף ה $q=2k_F$! $q=0$ נוסף $K=1$: $J_2=0$ נוסף XY נוסף
 נוסף $\frac{1}{X^2}$ נוסף נוסף פון נוסף ה $q=2k_F$ נוסף נוסף נוסף X^{-2} נוסף נוסף
 נוסף נוסף נוסף נוסף XY נוסף $\Leftarrow q=0$ נוסף ה $\frac{1}{X^{1/2}}$

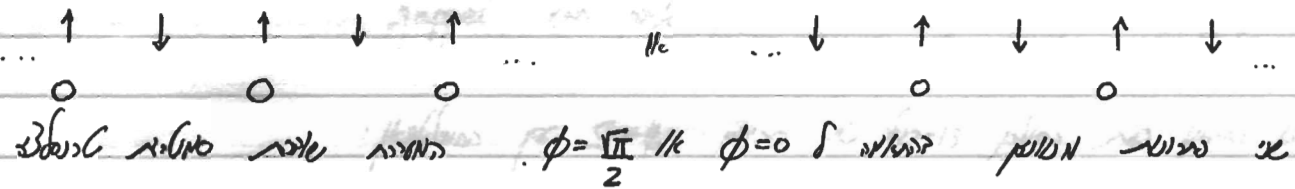
נוסף Z זר פון ה נוסף נוסף נוסף ($J_2 > 0$ נוסף נוסף) $K < 1$ נוסף
 נוסף נוסף ה נוסף X^{-1} נוסף נוסף $K = \frac{1}{2}$ נוסף נוסף
 נוסף נוסף XY 1 2 נוסף ה

נוסף נוסף Z זר $q=0$ נוסף נוסף ($J_2 < 0$ נוסף נוסף) $K > 1$ נוסף

$K < \frac{1}{2}$: $J_z > J_{xy}$ זהו מצב של קלאסיקה של ספינים ϕ שבו ϕ מוגדר על ידי $\langle S^z \rangle = (-1)^x \langle \cos(2\sqrt{\pi}\phi) \rangle$

$$\langle S^z \rangle = (-1)^x \langle \cos(2\sqrt{\pi}\phi) \rangle$$

זהו Ising של ספינים ממונים על קשרים של ספינים של $S=1/2$



זהו מצב של קלאסיקה של ספינים $\phi = \frac{\sqrt{\pi}}{2}$ ו $\phi = 0$

$$H = \sum H_{ij} = J \sum (S_i^x S_{i+1}^x + S_i^y S_{i+1}^y + S_i^z S_{i+1}^z)$$

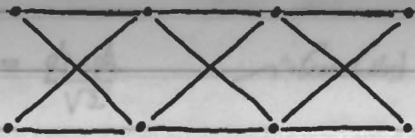
Halbach וקולומבוניס הם הראשונים שהציעו את המודל של ספינים של $S=1$ (Luther and Timonen 1985, Schultz 1986)

$$S_i = S_i^+ + S_i^-$$

המודל של ספינים של $S=1$ הוא למעשה מודל של ספינים של $S=1/2$

$$H = J \sum S_i \cdot S_{i+1}$$

זהו מצב של קלאסיקה של ספינים $S_i = 0$ (זהו מצב של ספינים של $S=1/2$)




מראה סלקט של שני סוגי רשתות. יש רשת אחת שבה כל האתרים הם אותו סוג (למשל אטומים) והיא נקראת רשת אחידה. יש רשת אחרת שבה האתרים הם שני סוגים (למשל אטומים שונים) והיא נקראת רשת לא אחידה.

↑ ↓ ↑ ↓ ↑ ↓ ↑ ↓ ↑ ↓ ↑ ↓

גאפד גאפס גאפס

את המודלים הללו נראה ב-13 ו-14. הם מייצגים את $S = 1/2$ וההתאמות:

$$H = \sum_{\alpha=1,2} H_\alpha + J_1^{xy} \sum_j (S_{j1}^x S_{j2}^x + S_{j1}^y S_{j2}^y) + J_1^z \sum_j S_{j1}^z S_{j2}^z$$


עבור H_α נראה את המודלים הללו. הם מייצגים את $S = 1/2$ וההתאמות:

Jordan-Wigner היתר מוביל

$$\begin{aligned}
 H_{int} = & \int dx \frac{2g_1}{(2\pi a)^2} \cos[\sqrt{\pi}(\theta_1 - \theta_2)] + \frac{2g_2}{(2\pi a)^2} \cos[2\sqrt{\pi}(\phi_1 - \phi_2)] + \frac{2g_3}{(2\pi a)^2} \cos[2\sqrt{\pi}(\phi_1 + \phi_2)] \\
 & + \frac{J_1^z a}{\pi} \int dx \partial_x \phi_1 \partial_x \phi_2
 \end{aligned}$$

עבור H_α נראה את המודלים הללו. הם מייצגים את $S = 1/2$ וההתאמות:

$$g_1 = \pi \tilde{a}^{xy} a$$

$$g_2 = g_3 = J_1^z a$$

עבור H_{int} נראה את המודלים הללו. הם מייצגים את $S = 1/2$ וההתאמות:

$\phi_a = \frac{\phi_1 - \phi_2}{\sqrt{2}}$ $\phi_s = \frac{\phi_1 + \phi_2}{\sqrt{2}}$

$H = H_s + H_a$

$H_s = \int dx \frac{U_s}{2} \left[K_s (\partial_x \theta)^2 + \frac{1}{K_s} (\partial_x \phi_s)^2 \right] + \frac{2g_s}{(2\pi a)^2} \int dx \cos(\sqrt{8\pi} \phi_s)$

$H_a = \int dx \frac{U_a}{2} \left[K_a (\partial_x \theta_a)^2 + \frac{1}{K_a} (\partial_x \phi_a)^2 \right] + \frac{2g_a}{(2\pi a)^2} \int dx \cos(\sqrt{8\pi} \phi_a) + \frac{2g_1}{(2\pi a)^2} \int dx \cos(\sqrt{2\pi} \theta_a)$

$U_s = U \left(1 + \frac{K J_1 a}{2\pi U} \right)$

$J_1 a \ll \frac{U}{K}$ $U \gg U_0$

$K_s = K \left(1 + \frac{K J_1 a}{2\pi U} \right)$

מכאן נקבעת הצורה של K_s ו- U_s

$\cos(4\sqrt{\pi} \phi_{1,2}) = \cos[\sqrt{8\pi} (\phi_s \pm \phi_a)]$

הפונקציה הזו היא פונקציה של ϕ_s ו- ϕ_a .
 כאשר ϕ_s ו- ϕ_a הם הזוויות של הפונקציות המקוריות.

גאפלים יכולים להיווצר גם מסיבה אחרת - סימטריה של הפונקציה.

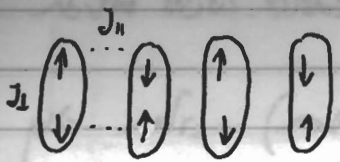
כאשר $K_a < 1$ נוצר גאפלינג בין $\cos(\sqrt{8\pi} \phi_a)$ ו- $\cos(\sqrt{2\pi} \theta_a)$.

כאשר $K_a > 1$ נוצר גאפלינג בין $\cos(\sqrt{8\pi} \phi_a)$ ו- $\cos(\sqrt{8\pi} \phi_s)$.

גאפלים יכולים להיווצר גם מסיבה אחרת - סימטריה של הפונקציה.

גאפלים יכולים להיווצר גם מסיבה אחרת - סימטריה של הפונקציה.

התהליך מתחיל עם מצב ראשוני של כל האטומים במצב היסודי. כל האטומים הם זהים, ולכן אין צורך להבחין ביניהם.

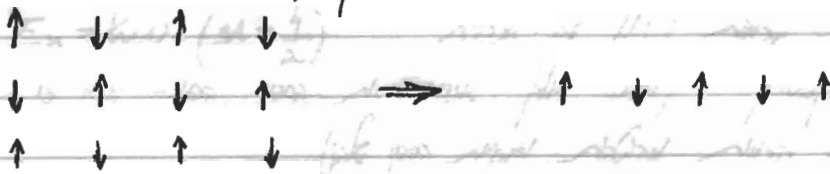


אם נניח שהאטומים הם זהים, אז אין צורך להבחין ביניהם. כל האטומים הם זהים, ולכן אין צורך להבחין ביניהם.

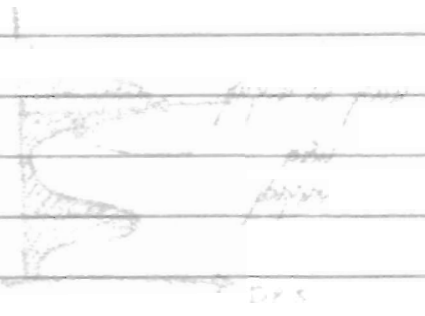
התהליך מתחיל עם מצב ראשוני של כל האטומים במצב היסודי. כל האטומים הם זהים, ולכן אין צורך להבחין ביניהם.

התהליך מתחיל עם מצב ראשוני של כל האטומים במצב היסודי. כל האטומים הם זהים, ולכן אין צורך להבחין ביניהם.

gapless. כלומר יש בו חצי



התהליך מתחיל עם מצב ראשוני של כל האטומים במצב היסודי. כל האטומים הם זהים, ולכן אין צורך להבחין ביניהם.



התהליך מתחיל עם מצב ראשוני של כל האטומים במצב היסודי. כל האטומים הם זהים, ולכן אין צורך להבחין ביניהם.